

# ДИНАМИКА ГАМИЛЬТОНОВЫХ СИСТЕМ С КУСОЧНО-ЛИНЕЙНОЙ СИЛОЙ

*B. B. Вечеславов\**

*Институт ядерной физики им. Г. И. Будкера  
630090, Новосибирск, Россия*

Поступила в редакцию 5 августа 2004 г.

Рассматривается семейство гладких двухпараметрических гамильтоновых систем с кусочно-линейной силой, представленных как в виде отображений, так и в непрерывной форме. Даётся обзор полученных к настоящему времени аналитических и численных результатов исследований обстоятельств возникновения хаоса и глобальной диффузии в таких системах. Описываются динамические эффекты, не имеющие аналогов в классе аналитических гамильтонианов. Проводится сравнение с хорошо изученным случаем возмущенного маятника и подчеркиваются кардинальные различия в динамическом поведении гладких и аналитических систем.

PACS: 05.45.-a

## 1. ВВЕДЕНИЕ

Двумерные канонические отображения

$$\bar{p} = p + Kf(x), \quad \bar{x} = x + \bar{p} \pmod{1}, \quad (1.1)$$

где  $K$  — параметр возмущения, уже давно и широко используются в нелинейной физике как весьма удобные и чрезвычайно информативные модели [1–3].

Отображение (1.1) можно записать в полностью эквивалентной ему форме непрерывной системы с гамильтонианом, явно зависящим от времени, и возмущением в виде толчков [1–3]:

$$\begin{aligned} H(x, p, t) &= \frac{p^2}{2} + KV(x)\delta_1(t) = \\ &= H_0(x, p) + H_1(x, t), \end{aligned} \quad (1.2)$$

где  $V(x) = -\int f(x) dx$  — потенциал силы и

$$\delta_1(t) = 1 + 2 \sum_{n \geq 1} \cos(2\pi nt)$$

обозначает  $\delta$ -функцию периода 1.

Невозмущенная часть,

$$H_0 = \frac{p^2}{2} + KV(x), \quad (1.3)$$

---

\*E-mail: vecheslavov@inp.nsk.su

представляет в (1.2) основной (целый) резонанс, а

$$H_1(x, t) = KV(x)(\delta_1(t) - 1) \quad (1.4)$$

рассматривается как возмущение с периодом  $T = 1$  и частотой  $\Omega = 2\pi/T = 2\pi$  от всех остальных резонансов.

Основной резонанс (1.3) является интегрируемой системой без всяких признаков хаоса и его сепаратрисы устроены следующим образом. Прежде всего, имеется седло — неподвижная точка, которую следует рассматривать как самостоятельную траекторию (невозмущенный маятник может находиться в ней бесконечно долго). От седла в противоположных направлениях отходят и затем асимптотически к нему же приближаются еще две траектории (сепаратрисы), каждая из которых является пограничной между вращением фазы (вне резонанса) и ее колебанием (внутри резонанса). На самом деле обе невозмущенные сепаратрисы состоят из двух пространственно совпадающих траекторий для направлений времени, соответственно, вперед и назад. Возмущение, как известно, расщепляет каждую сепаратрису на две ветви, которые пересекаются в так называемых гомоклинических точках.

Возмущенная система (1.2) является, как правило, неинтегрируемой, и ее фазовое пространство в общем случае оказывается разделенным на хаотическую и регулярную компоненты. Одной из важ-

ных для практики задач является выяснение условий образования единой хаотической компоненты и возникновения глобального хаоса. Эти условия в решающей степени определяются функциональными свойствами потенциала основного резонанса  $V(x)$ .

Создатели теории КАМ (Колмогоров–Мозер–Арнольд) с самого начала отмечали, что возникновение глобального хаоса и возможность диффузии по всей единой хаотической компоненте в фазовом пространстве зависят не только от величины возмущения, но и от гладкости системы. Гладкость удобно характеризовать скоростью убывания фурье-амплитуд. Для аналитических функций убывание является экспоненциальным. В этом случае всегда существует пороговая величина  $K_{tr}$  и глобальный хаос возникает лишь при  $K \gtrsim K_{tr}$ . Если же  $K \lesssim K_{tr}$ , то хаос локализован в относительно узких хаотических слоях (которые образуются при любом  $K > 0$ ) и глобальная диффузия при числе степеней свободы консервативной системы  $N \leq 2$  невозможна.

Характер движения существенно изменяется для гладкого потенциала  $V(x)$ , у которого фурье-амплитуды убывают как некоторая степень  $\beta + 1$  их номера  $n$  (см. [4] и ссылки там). В простейшем случае двумерного отображения порог  $K_{tr} > 0$  возникновения глобального хаоса существует всегда при  $\beta > \beta_{cr} = 3$ . Это значение критической гладкости получено из простой оценки в работе [4] и требует проверки в численных экспериментах. Строгое доказательство удалось получить только для  $\beta_{cr} = 5$  (см. [5], где было также высказано предположение, что на самом деле  $\beta_{cr} = 4$ ).

Возвращаясь к отображению (1.1), отметим, что оно изучалось для случаев как аналитических, так и гладких функций. Аналитической функции  $f(x) = \sin(2\pi x)$ , например, отвечает известное стандартное отображение Чирикова, результаты обширных исследований которого (как и его непрерывного варианта — гамильтонiana маятника) внесли заметный вклад в современную нелинейную динамику.

Вместе с тем именно в классе гладких функций были обнаружены некоторые новые динамические эффекты, о которых будет сказано ниже и которые не имеют места в аналитическом случае.

Настоящая работа посвящена гладким гамильтоновым системам, в которых синусоидальная сила заменена ее кусочно-линейным аналогом — пилой, с показателем гладкости  $\beta = 2$  (см. разд. 2). Именно для этого показателя ситуация долгое время оставалась неясной, и здесь уместно кратко напомнить историю этого вопроса.

Уже в ранних численных экспериментах с системами, гладкость которых была ниже критической  $\beta < \beta_{cr} = 3$ , наряду с глобальной диффузией наблюдались случаи, когда траектории в течение весьма длительного времени счета не выходили за пределы некоторой ограниченной части фазового пространства [6, 7]. Однако это было не более чем подозрение на подавление или ослабление диффузии. Строгий результат был получен Булитом [8]. Для симметричного кусочно-линейного двумерного отображения (СКЛО) с  $\beta = 2$  Булит доказал существование глобальных инвариантных кривых как с иррациональными, так и с рациональными числами вращения (см. также [9]). Такие глобальные инвариантные кривые имеют полную протяженность по фазе, что исключает неограниченную диффузию по действию.

В работе [8] впервые было показано, что среди инвариантных кривых с рациональными числами вращения присутствуют также неразрушенные сепаратрисы целых и дробных нелинейных резонансов. Особенно важным и неожиданным оказался тот факт, что система при этом отнюдь не становится интегрируемой и сепаратрисы сохраняются и записывают глобальную диффузию в условиях сильного локального хаоса.

По непонятным причинам эта важная и интересная работа Булита не получила в свое время широкой известности и значительно позже для той же самой модели СКЛО аналогичная теорема была независимо доказана Овсянниковым [10]. Он не только указал счетное множество значений параметра  $K$ , при которых в условиях локального хаоса сохраняются сепаратрисы целых резонансов, но и нашел для них явное выражение. Именно сообщение Овсянникова послужило для нас толчком к интенсивному исследованию СКЛО и его модификаций, результаты которых представлены в работах [11–17]. Теорема Овсянникова нигде не была опубликована и с разрешения автора мы поместили ее полный текст в приложениях к работам [12, 13]. Замечу попутно, что в первых публикациях [11, 12] на эту тему статья Булита не упоминается по той простой причине, что тогда она еще не была известна автору.

Следует подчеркнуть, что математические работы Булита и Овсянникова ограничены исследованием только самих инвариантных кривых нового типа, так как в противном случае две ветви расщепленных сепаратрис образуют не поддающиеся аналитическим исследованиям случайные траектории (это может быть сделано только в эксперименте — численном [11–17] или физическом).

Каждой инвариантной кривой в СКЛО отвечает определенное значение параметра возмущения  $K$ . В работе [11] предложено называть такие значения критическими и обозначать их символом  $K_{Q,n}$ , где  $Q$  обозначает номер резонанса ( $Q = 1$  — целый,  $Q \geq 2$  — дробный), а  $n$  — порядковый номер этого критического числа. Например, для критических чисел целого резонанса по теореме Овсянникова имеем

$$K_{1,n} = \sin^2 \frac{\alpha_n}{2}, \quad n = 1, 2, \dots, \quad (1.5)$$

где  $\alpha_n$  — наименьший положительный корень уравнения

$$\sqrt{2} \sin \frac{n\alpha}{2} = \cos \frac{\alpha}{2}. \quad (1.6)$$

В работах [11–14] при численном отыскании критических чисел  $K_{Q,n}$  использовался тот факт, что в случае кусочно-линейной силы именно для этих чисел угол пересечения ветвей сепаратрис в центральной гомоклинной точке проходит через нуль (для нечетных номеров  $n$  плавно, для четных скачком меняет знак). В литературе уже отмечался тот факт, что из всех атрибутов хаоса только этот угол может быть измерен сколь угодно точно [14]. Надо заметить, что в общем случае обращение угла пересечения сепаратрис в нуль не является признаком их обязательного сохранения. В работе [17] приведен пример, когда ветви расщепившихся сепаратрис лишь касаются в гомоклинной точке, которая оказывается точкой перегиба.

Множество всех критических чисел является канторовым, и имеются интервалы значений параметра  $K$ , где глобальная диффузия определенно имеет место (один такой интервал  $0.2295 < K < 0.2500$  для  $d = 1/2$  явно указан в работе [8]).

Дальнейшее изучение показало, что каждая из обнаруженных Булитом глобальных инвариантных кривых (включая нерасщепленные сепаратрисы целых и дробных резонансов), возникающих при точном значении параметра  $K_{Q,n}$ , на самом деле существенно искажает структуру фазовой плоскости и в некоторой конечной окрестности  $K_{Q,n}$ . Это дало основание предложить новый термин — виртуальная инвариантная кривая. Наличие таких виртуальных кривых приводит к совершенно новому и очень сложному типу транспортного процесса в гладкой системе — так называемой фрактальной диффузии (подробности в работах [15, 16]). Исследование этой диффузии только началось и сразу же обнаружило много открытых и требующих специального рассмотрения вопросов, которые не включены в настоящий обзор.

Выше уже отмечалась важная роль, которая в нелинейной динамике принадлежит стандартному отображению и его непрерывному варианту — гамильтониану возмущенного маятника. При разработке теории хаотического слоя маятника Чириков широко использовал введенные им интегралы Мельникова–Арнольда, которые определяют величину амплитуды отвечающего за формирование хаотического слоя сепаратрисного отображения системы во всем диапазоне частот возмущений [1].

При исследовании гладких систем с кусочно-линейной силой также оказалось очень полезным наряду с отображением (1.1) рассматривать непрерывный гамильтониан (разд. 2). Аналитические выражения интегралов Мельникова–Арнольда для этого случая впервые, насколько известно автору, были получены в работах [13, 17]. Они полностью отражают весьма своеобразную динамическую специфику системы, включая наличие критических чисел и сохранение сепаратрис в условиях локального хаоса. Эти интегралы используются ниже для выяснения деталей формирования хаоса (разд. 3).

Полученные результаты для непрерывной системы с кусочно-линейной силой сравниваются с хорошо изученным случаем возмущенного маятника и отмечаются сходства и различия в динамическом поведении этих двух систем (разд. 4, 5).

## 2. ГАМИЛЬТОНИАН ЗАДАЧИ

Наряду с отображением (1.1) рассмотрим также непрерывную систему с гамильтонианом вида

$$H(x, p, t) = H_0(x, p) + U(x, t), \\ H_0(x, p) = \frac{p^2}{2} + \omega_0^2 V(x), \quad (2.1)$$

и двухчастотным, в общем случае несимметричным, возмущением

$$U(x, t) = \varepsilon_1 \cos(2\pi m_1 x - \Omega_1 t) + \\ + \varepsilon_2 \cos(2\pi m_2 x - \Omega_2 t), \quad (2.2)$$

где  $m_1, m_2$  — целые числа и  $\varepsilon_1, \varepsilon_2 \ll 1$ .

Оба члена в (2.2) также являются резонансами. Будем всегда полагать первую частоту положительной,  $\Omega_1 > 0$ , и называть ее верхней гармоникой возмущения (на фазовой плоскости она находится выше основного резонанса). Второй член в (2.2) при  $\Omega_2 < 0$  будем считать по аналогии нижней гармоникой.

Потенциал системы (2.1)

$$V(x) = \frac{1}{4} - \int f(x) dx$$

порождается антисимметричной,  $f(-x) = -f(x)$ , кусочно-линейной силой с периодом 1:

$$f(x) = \begin{cases} \frac{2x}{1-d}, & 0 \leq x < \frac{1-d}{2}, \\ \frac{1-2x}{d}, & \frac{1-d}{2} \leq x \leq \frac{1+d}{2}, \\ \frac{2(x-1)}{1-d}, & 1+d < x < 1. \end{cases} \quad (2.3)$$

Он может быть представлен своим рядом Фурье [15]:

$$\begin{aligned} V(x) &= \frac{1}{4} + \sum_{n \geq 1} \frac{f_n}{2\pi n^{\beta+1}} \cos(2\pi nx), \\ f_n &= -\frac{2}{\pi^2} \frac{\cos(n\pi) \sin(n\pi d)}{d(1-d)}, \end{aligned} \quad (2.4)$$

где  $\beta = 2$  — показатель гладкости.

Формулы (2.3), (2.4) содержат параметр перекоса  $d$ , что позволяет исследовать сразу целое семейство пилообразных зависимостей [8, 14]. К настоящему времени наиболее полно изучен случай СКЛО с  $d = 1/2$ . Отметим, что обнаруженные в работах [8, 10–17] новые динамические эффекты и глобальные инвариантные кривые имеют место во всем открытом интервале  $0 < d < 1$  значений параметра

перекоса при следующем найденном в [8] условии для параметра возмущения  $K$  (1.1):

$$K \leq K_B(d) = \frac{2d^2}{1+d}. \quad (2.5)$$

При  $K > K_B$  глобальные инвариантные кривые в системе (1.1), (2.3) полностью отсутствуют.

Из формул (2.4) для особого случая разрывной пилы для предельного перехода  $d = 0$  получаем

$$f_n = -\frac{2}{\pi} \cos(n\pi), \quad \beta = 1. \quad (2.6)$$

Видно, что показатель гладкости системы  $\beta$  в пределе  $d = 0$  на единицу меньше его значения внутри интервала и оба они меньше критической величины  $\beta_{cr} = 3$ . В этом случае движение оказывается эргодическим, инвариантные кривые полностью отсутствуют и глобальная диффузия происходит при любом  $K > 0$ . Заметим попутно, что другой предел  $d = 1$  неинтересен, поскольку движение при этом становится регулярным [14].

Характерной особенностью силы (2.3) является наличие на ее периоде двух участков: с отрицательным («эллиптический» участок) и положительным («гиперболический» участок) значениями производной  $df/dx$ . На границах этих участков имеет место сингулярность — разрыв первой производной.

Движение по верхней невозмущенной сепаратрисе ( $\varepsilon_1 = \varepsilon_2 = 0$ ) описывается функцией безразмерного времени  $\psi = 2\omega_0 t$  вида

$$x_s(\psi_s) = \begin{cases} A_d \exp \frac{\psi_s}{\sqrt{2(1-d)}}, & -\infty < \psi_s < -\psi_{s,1}, \\ \frac{1}{2} \left( 1 + \sqrt{d} \sin \frac{\psi_s}{\sqrt{2d}} \right), & -\psi_{s,1} \leq \psi_s \leq \psi_{s,1}, \\ 1 - A_d \exp \left( -\frac{\psi_s}{\sqrt{2(1-d)}} \right), & \psi_{s,1} < \psi_s < \infty, \end{cases} \quad (2.7)$$

импульс находится дифференцированием:  $p_s = \dot{x} = 1/H_{0,s}$ . Период движения  $T_0$  вблизи сепаратрисы вычисляется по формуле

$$\begin{aligned} \psi_{s,1} &= \sqrt{2d} \arcsin \sqrt{d}, \\ A_d &= \frac{1-d}{2} \exp \frac{\psi_{s,1}}{\sqrt{2(1-d)}}. \end{aligned} \quad (2.8)$$

Относительное отклонение от невозмущенной сепаратрисы по энергии обозначено  $w = H_0/H_{0,s} - 1$  при значении гамильтониана на сепаратрисе

$$H_{0,s} = \omega_0^2/4. \quad T_0(w) = 2T_{s,1} + \frac{1}{\omega_2} \ln \frac{4\sqrt{1-d} \cos(\omega_1 T_{s,1})}{|w|}, \quad (2.9)$$

где

$$\begin{aligned} \omega_1 &= \omega_0 \sqrt{\frac{2}{d}}, & \omega_2 &= \omega_0 \sqrt{\frac{2}{1-d}}, \\ T_{s,1} &= \frac{\arcsin \sqrt{d}}{\omega_1}. \end{aligned} \quad (2.10)$$

При численном определении размеров хаотического слоя используется связь относительной энергии  $w$  с периодом движения  $T_0$ , которая описывается обратной к (2.9) зависимостью:

$$w(T_0) = 4\sqrt{1-d} \cos(\omega_1 T_{s,1}) \times \exp(-\omega_2(T_0 - 2T_{s,1})). \quad (2.11)$$

Вывод формул (2.7)–(2.11) можно найти в работе [17].

В следующих разделах будем сравнивать обстоятельства возникновения хаоса в исследуемых гладких системах со случаем хорошо изученного возмущенного маятника, гамильтониан которого запишем в виде

$$H(x, p, t) = \frac{p^2}{2} + \cos x + U(x, t), \quad (2.12)$$

где частота малых колебаний принята за единицу и возмущение в общем случае определяется выражением (2.2).

### 3. ИНТЕГРАЛ МЕЛЬНИКОВА – АРНОЛЬДА ДЛЯ СИСТЕМЫ (2.1)

Возмущение, как известно, в общем случае разрушает сепаратрисы основного резонанса и образует на их месте хаотический слой, в котором следует различать три части: верхняя — вращение фазы при  $p > 0$ , средняя — колебания фазы и нижняя — вращение фазы при  $p < 0$ . При несимметричном возмущении размеры этих частей могут сильно различаться. Заметим, что верхняя часть слоя формируется преимущественно под влиянием верхних резонансов, нижняя — под влиянием нижних, а средняя — тех и других [17]. Мы будем в основном исследовать верхнюю часть хаотического слоя.

Рассмотрим пока одну верхнюю гармонику в возмущении (2.2) и, следуя описанной в работе [1] методике, будем искать вызванное этой гармоникой изменение невозмущенной энергии  $H_0$  за полупериод колебаний или период вращения:

$$\begin{aligned} \Delta H_0 &= \int_{-\infty}^{\infty} \{H, H_0\} dt = -\varepsilon_1 \int_{-\infty}^{\infty} p(t) \frac{\partial U}{\partial x} dt = \\ &= 2\pi m \varepsilon_1 \int_{-\infty}^{\infty} p(t) \sin(2\pi m_1 x - \tau - \tau_0) dt = \\ &= 2\pi m_1 \varepsilon_1 \sin \tau_0 W_{MA}, \end{aligned}$$

где  $\{ , \}$  — скобка Пуассона,  $\tau = \Omega_1 t$ ,  $W_{MA}$  — интеграл Мельникова – Арнольда,

$$W_{MA} = - \int_{-\infty}^{\infty} p_s(t) \cos[2\pi m_1 x_s(t) - \Omega_1 t] dt. \quad (3.1)$$

Здесь учтена только четная функция в разложении  $\sin(2\pi m_1 x - \tau - \tau_0)$  и предположено, что система движется вблизи невозмущенной сепаратрисы.

Заметим попутно, что входящий в подынтегральное выражение (3.1) множитель  $p_s$  снимает известную проблему специальной нормировки этого интеграла для подавления его осциллирующей части, поскольку при движении по невозмущенной сепаратрисе асимптотически стремится к нулю в обоих бесконечных пределах интегрирования (подробности в разд. 4.4 обзора [1]).

Амплитуда гармоники сепаратрисного отображения частоты  $\Omega$  полностью определяется свойствами и поведением интеграла Мельникова – Арнольда, поскольку пропорциональна ему:

$$W = \pm \max |\bar{w} - w| = \pm \frac{\Delta H_0}{H_{0,s}} = \frac{8\pi m \varepsilon}{\omega_0^2} W_{MA}. \quad (3.2)$$

Переходя к безразмерному времени  $\psi = 2\omega_0 t$  и вычисляя соотношение (3.1) вдоль невозмущенной сепаратрисы (2.7), находим, что вклад верхней гармоники возмущения в верхнюю часть хаотического слоя определяется выражением:

$$\begin{aligned} W_{MA} (\lambda_1 > 0) &= -\frac{1}{\sqrt{2}} \int_0^{\psi_{s,1}} \cos \frac{\psi}{\sqrt{2d}} \times \\ &\times \cos \left[ \pi m_1 \left( 1 + \sqrt{d} \sin \frac{\psi}{\sqrt{2d}} \right) - \lambda_1 \psi \right] d\psi - \\ &- A_d \sqrt{\frac{2}{1-d}} \int_{\psi_{s,1}}^{\infty} \exp \left( \frac{-\psi}{\sqrt{2(1-d)}} \right) \times \\ &\times \cos \left[ 2\pi m_1 A_d \exp \left( \frac{-\psi}{\sqrt{2(1-d)}} \right) + \lambda_1 \psi \right] d\psi, \quad (3.3) \end{aligned}$$

где  $\lambda_1 = \Omega_1 / 2\omega_0$  — параметр адиабатичности [1].

Можно показать, что для вычисления вклада нижней гармоники возмущения в верхнюю часть хаотического слоя вместо (3.3) надо использовать формулу

$$\begin{aligned}
W_{MA}(\lambda_2 < 0) = & \frac{1}{\sqrt{2}} \int_0^{\psi_{s,1}} \cos \frac{\psi}{\sqrt{2d}} \times \\
& \times \cos \left[ \pi m_2 \left( 1 + \sqrt{d} \sin \frac{\psi}{\sqrt{2d}} \right) + |\lambda_2| \psi \right] d\psi + \\
& + A_d \sqrt{\frac{2}{1-d}} \int_{\psi_{s,1}}^{\infty} \exp \left( \frac{-\psi}{\sqrt{2(1-d)}} \right) \times \\
& \times \cos \left[ 2\pi m_2 A_d \exp \left( \frac{-\psi}{\sqrt{2(1-d)}} \right) - |\lambda_2| \psi \right] d\psi, \quad (3.4)
\end{aligned}$$

где  $\lambda_2 = \Omega_2/2\omega_0$ .

Полная амплитуда сепаратрисного отображения для верхней части слоя определяется с помощью (3.2) как сумма вкладов в эту часть слоя от всех входящих в возмущение гармоник. В следующих двух разделах мы используем полученные здесь соотношения для анализа поведения системы (2.1) с симметричным и несимметричным возмущением (2.2).

#### 4. СИММЕТРИЧНОЕ ВОЗМУЩЕНИЕ

Выберем параметры возмущения (2.2) так, чтобы сделать его симметричным:

$$\begin{aligned}
\varepsilon_1 = \varepsilon_2 = \varepsilon, \quad m_1 = m_2 = m, \\
\Omega_1 = -\Omega_2 = \Omega. \quad (4.1)
\end{aligned}$$

Вначале напомним особенности образования хаоса в зависимости от частоты симметричного возмущения в случае маятника (2.12). Весь диапазон частот условно разбивается на участки низких частот, средних, или умеренных, частот и высокочастотный. Исследования Чирикова, выполненные в работе [1], показали, что в высокочастотном пределе,  $\Omega \rightarrow \infty$ , амплитуда  $W$  сепаратрисного отображения и энергетический размер хаотического слоя с ростом частоты убывают экспоненциально, и что все три части слоя имеют при этом одинаковую ширину

$$w_{tp} = |w_{md}| = w_{bt} = \lambda W, \quad (4.2)$$

где для маятника (2.12)  $\lambda \equiv \Omega$  и  $w = p^2/2 + \cos x - 1$  — относительное отклонение от невозмущенной сепаратрисы по энергии.

В недавней работе [18] также для симметричного возмущения маятника рассматривалась низкочастотная асимптотика  $\Omega \rightarrow 0$  и было найдено, что в этом случае амплитуда сепаратрисного отображения растет линейно с частотой, а ширина слоя вообще от нее не зависит.

Обе эти асимптотики,  $\Omega \gg 1$  и  $\Omega \ll 1$ , устроены относительно просто, и наиболее трудной для анализа является область средних частот, где отсутствует какой-либо малый (или большой) параметр адиабатичности. Основная трудность здесь состоит в том, что размер хаотического слоя в этой области оказывается разрывной функцией амплитуды сепаратрисного отображения  $W$  [19]. Такая структура в рамках современной динамики объясняется тем, что с ростом  $W$  происходит последовательное разрушение инвариантных кривых с иррациональными числами вращения. Если такая кривая является границей между основным хаотическим слоем и ближайшим к нему резонансом сепаратрисного отображения, то при ее разрушении происходит слияние этих объектов и размер слоя прирастает на конечную величину — фазовый объем присоединившегося резонанса.

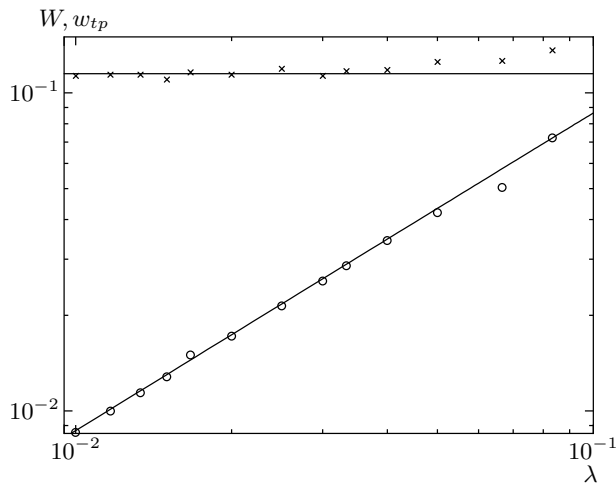
Весьма полезными здесь оказались так называемые резонансные инварианты, которые неплохо передают топологию отдельных резонансов. Техника построения и примеры использования таких инвариантов первых трех порядков, соответствующих резонансам  $1:1$ ,  $1:2$  и  $1:3$ , предложены для стандартного отображения в работе [20] и для одночастотного сепаратрисного отображения в работе [19].

Вернемся вновь к гладкой системе и выясним особенности образования хаоса при низких и высоких частотах. Суммируя вклады от обеих гармоник, получаем выражение результирующего интеграла Мельникова–Арнольда для верхней части слоя

$$\begin{aligned}
W_{MA}(\lambda) = & \sqrt{2} \int_0^{\psi_{s,1}} \cos \frac{\psi}{\sqrt{2d}} \times \\
& \times \sin \left[ \pi m \left( 1 + \sqrt{d} \sin \frac{\psi}{\sqrt{2d}} \right) \right] \times \\
& \times \sin (\lambda \psi) d\psi + 2A_d \sqrt{\frac{2}{1-d}} \times \\
& \times \int_{\psi_{s,1}}^{\infty} \exp \left( \frac{-\psi}{\sqrt{2(1-d)}} \right) \times \\
& \times \sin \left[ 2\pi m A_d \exp \left( \frac{-\psi}{\sqrt{2(1-d)}} \right) \right] \sin (\lambda \psi) d\psi, \quad (4.3)
\end{aligned}$$

где  $\lambda = \Omega/2\omega_0$ . Первое слагаемое в этой формуле описывает вклад от «эллиптического» участка силы (2.3), второе — от остальной части.

Начнем со случая  $\lambda \rightarrow 0$ . Выполним в обеих частях (4.3) замену  $\sin (\lambda \psi) \rightarrow \lambda \psi$ , вынесем  $\lambda$  за знак интеграла и найдем, что в низкочастотном пределе



**Рис. 1.** Низкочастотная асимптотика ( $\Omega \rightarrow 0$ ) системы (2.1) при симметричном возмущении. Кружки — полученные численно амплитуды сепаратрисного отображения  $W$ . Кресты — размер верхней части хаотического слоя  $w_{tp}$ , найденный с помощью итераций этого отображения. Наклонная прямая — интеграл Мельникова — Арнольда, построенный по формуле (4.3) и умноженный на подгоночный множитель 0.75

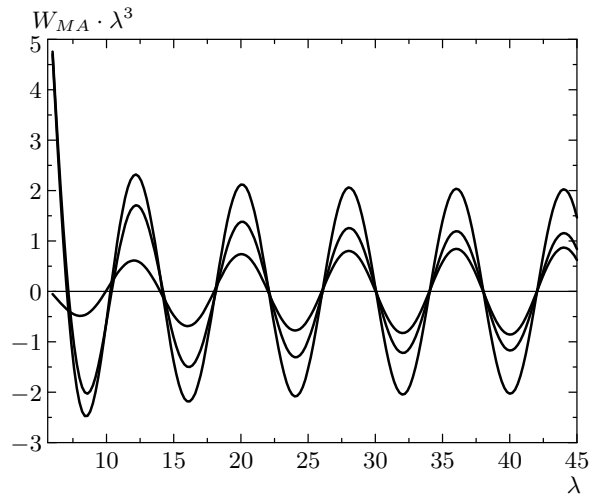
интеграл Мельникова — Арнольда (а значит, и амплитуда сепаратрисного отображения  $W$ ) растет линейно с увеличением частоты:

$$W \propto W_{MA} \propto \lambda. \quad (4.4)$$

Подчеркнем, что учет бесконечных пределов интегрирования в (4.3) ничего не меняет, поскольку, как отмечено выше, вклад «хвостов» этого интервала подавлен асимптотически стремящейся к нулю величиной импульса на невозмущенной сепаратрисе.

В работе [18] показано, что если амплитуда сепаратрисного отображения растет линейно с частотой, то ширина хаотического слоя от нее не зависит. Рисунок 1, построенный для симметричной системы (2.1), (2.2) с параметрами  $\varepsilon_1 = \varepsilon_2 = 0.01$ , подтверждает этот факт, и мы убеждаемся, что в низкочастотном пределе система с кусочно-линейной силой и маятником ведут себя качественно одинаково.

Любопытной особенностью системы (2.1) является то, что ее сепаратрисное отображение при  $\lambda \ll 1$  содержит две гармоники — с одинарной и с двойной частотой. В области средних частот вторая гармоника исчезает и сепаратрисное отображение становится одночастотным. Напомним, что у маятника все наоборот: двойная частота имеет место только в об-



**Рис. 2.** Высокочастотная асимптотика ( $\Omega \rightarrow \infty$ ) системы (2.1) при симметричном возмущении. Внешняя кривая описывает совместное действие верхней и нижней гармоник возмущения, средняя — одной верхней, внутренняя — одной нижней гармоники

ласти средних частот и исчезает при подходе к обоим асимптотическим участкам,  $\lambda \rightarrow 0$  и  $\lambda \rightarrow \infty$  [21].

Перейдем к анализу случая высокой частоты  $\Omega \rightarrow \infty$ , где картина резко и качественно меняется. В этом пределе оба слагаемых в формуле (4.3) оказываются колебательными и знакопеременными, их колебания находятся почти в противофазе. Результирующая функция  $W_{MA}(\lambda)$  также является знакопеременной и колебательной (см. рис. 2).

В работе [17] выполнены некоторые асимптотические ( $\lambda \rightarrow \infty$ ) оценки интегралов Мельникова — Арнольда (3.3), (3.4), которые позволяют сделать следующие выводы.

Эти интегралы при  $\lambda \gg 1$  оказываются периодическими по  $\lambda$  функциями,

$$W_{MA}(\lambda) \approx (-1)^m \frac{|\lambda|^{-3}}{4d} \sqrt{\frac{1-d}{2}} \times \\ \times \left( 1 \pm \pi |\lambda|^{-1} \sqrt{\frac{1-d}{2}} \right) \sin(\pi m d \mp |\lambda| \psi_{s,1}) \quad (4.5)$$

(верхние знаки отвечают верхней гармонике), с периодом

$$T_\lambda = \frac{2\pi}{\psi_{s,1}} = \frac{\pi}{\arcsin \sqrt{d}} \sqrt{\frac{2}{d}}. \quad (4.6)$$

На рис. 2 построены зависимости приведенного интеграла Мельникова — Арнольда  $W_{MA}^* = W_{MA}\lambda^3$  для симметричной пилы  $d = 1/2$ . При значениях

$d \neq 1/2$  характер этих зависимостей остается таким же, но гармоники сдвигаются по фазе. Видно, что формулы (4.5) качественно правильно передают характер этих зависимостей, хотя и нуждаются в числовых поправках.

Выполненное в работе [13] итерирование сепаратрисного отображения для полученных через интеграл Мельникова–Арнольда амплитуд показало, что найденная Чириковым связь (4.2) между шириной хаотического слоя и амплитудой сепаратрисного отображения  $W$  неплохо выполняется и для гладкой системы,

$$w_{tp} \approx \lambda |W|, \quad (4.7)$$

причем даже в окрестности нулевых значений  $W$ . При  $\lambda = \Omega/2\omega_0 > 10$ , например, имеет место неравенство  $0.94 \leq w_{tp}/\lambda |W| \leq 1.3$ .

Полученные выше для непрерывной гладкой системы (2.1) результаты можно прямо связать с отображением (1.1) [13]. Будем называть критическими те значения  $\lambda_{1,n}$ ,  $n = 1, 2, \dots$ , при которых интеграл Мельникова–Арнольда проходит через нуль,  $W_{MA}(\lambda_{1,n}) = 0$  (первый индекс относится к основному резонансу). Чтобы перевести непрерывную систему (2.1) с параметром  $\lambda$  в отображение (1.1) с параметром  $K$  или наоборот, надо воспользоваться соотношением

$$K = \omega_0^2 = \left( \frac{\pi}{\lambda} \right)^2, \quad n = 1, 2, \dots$$

Последнее равенство позволяет пересчитать критические значения  $\lambda_{1,n}$  непрерывной системы в критические значения параметра отображения. Обозначив найденные путем такого пересчета величины через  $K^*$ , получим

$$K_{1,n}^* = \left( \frac{\pi}{\lambda_{1,n}} \right)^2, \quad n = 1, 2, \dots$$

Эти числа следует сравнить с величинами  $K_{1,n}$ , вычисленными по формулам Овсянникова (1.5), (1.6). Результат такого сравнения хорошо описывается приближенной формулой

$$\frac{K_{1,n}}{K_{1,m}^*} \approx 1 + 0.676 n^{-0.875}, \quad n = 1, 2, \dots$$

В асимптотическом пределе ( $n \gg 1$ ) множества  $K_{1,n}$  и  $K_{1,n}^*$  совпадают, что и оправдывает применение полученных здесь результатов в отношении отображения (1.1).

Найденные при  $\Omega \gg 1$  для гладкой системы периодические зависимости с убывающей по степенному закону  $\lambda^{-3}$  амплитудой резко отличаются от случая аналитического потенциала, где  $W_{MA}(\lambda)$  всегда

монотонная и экспоненциально убывающая функция  $\lambda$ . Более того, при одинаковых по модулю частотах вклад нижней гармоники в верхнюю часть хаотического слоя меньше вклада верхней гармоники в  $\exp(-\pi|\lambda|)$  раз [1]. В системе с кусочно-линейной силой все не так — с ростом частоты вклады в сепаратрисное отображение верхней и нижней гармоник сближаются. Столы глубокие различия двух обсуждаемых типов систем связаны, по-видимому, с существенно разным расположением сингулярностей интеграла Мельникова–Арнольда: для гладкого потенциала они находятся на действительной оси времени, а для маятника — в комплексной плоскости.

## 5. НЕСИММЕТРИЧНОЕ ВОЗМУЩЕНИЕ

Несимметричное возмущение (2.2) с высокими частотами  $\Omega_1, |\Omega_2| \gg 1$ , насколько нам известно, впервые было рассмотрено в работах [22, 23] на примере гамильтонiana маятника (2.12). Именно в этом случае в возмущении на комбинациях первичных (явно входящих в гамильтониан) частот возникают вторичные гармоники порядка  $\varepsilon_1 \varepsilon_2$ :

$$\Delta\Omega_+ = \Omega_1 + \Omega_2, \quad \Delta\Omega_- = \Omega_2 - \Omega_1, \quad (5.1)$$

которые при  $\varepsilon_1, \varepsilon_2 \ll 1$  оказываются много слабее первичных.

Уже первые численные эксперименты с этой системой позволили обнаружить тот удивительный на первый взгляд факт, что именно эти весьма слабые вторичные гармоники возмущения при определенных условиях полностью определяют амплитуду сепаратрисного отображения и размер хаотического слоя.

В работе [23] дан пример такой системы с параметрами  $\varepsilon_1 = \varepsilon_2 = 0.075$ ,  $\Omega_1 = 13$ ,  $\Omega_2 = -10$ , причем образующаяся на сумме частот  $\Delta\Omega_+ = 3$  вторичная гармоника имела в возмущении амплитуду, примерно равную  $4.5 \cdot 10^{-5}$ , что приблизительно в 1700 раз меньше амплитуд первичных гармоник. Несмотря на это ее вклад в амплитуду отвечающего за образование хаоса сепаратрисного отображения верхней части слоя превысил суммарный вклад от первичных гармоник почти в 400 раз. Размеры и спектральный состав отдельных частей слоя оказались при этом существенно различными. Все это есть следствие упоминавшейся выше экспоненциальной зависимости ширины хаотического слоя маятника от частоты при  $\Omega \gg 1$ , что и позволяет очень слабым, но низкочастотным вторичным гармоникам решающим образом влиять на образование хаоса.

Для гладкой системы такая же картина имеет место в отношении гармоник на сумме частот, в то время как на разности частот эффект оказывается заметно слабее, чем для маятника [17].

Амплитуды вторичных гармоник возмущения заранее неизвестны и их необходимо найти. Строгая теория здесь пока отсутствует, однако общий подход к проблеме и способ получения приближенных аналитических соотношений был предложен в работе [22]. Следуя ей (см. также [17]), необходимо сделать в (2.1), (2.2) замену переменных, введя вместо координаты  $x(t)$  и импульса  $p(t)$  их отклонения от значений на невозмущенной сепаратрисе  $x_s(t)$ ,  $p_s(t)$  (2.7). Считая эти отклонения малыми и пренебрегая членами порядка выше второго, можно показать, что в возмущении появляются вторичные гармоники как на сумме частот:

$$\begin{aligned} \varepsilon_+ \cos(2\pi m_+ x_s - \Delta\Omega_+ t), \\ \varepsilon_+ = -2\pi^2 \varepsilon_1 \varepsilon_2 m_1 m_2 \left( \frac{m_1}{\Omega_2^2} + \frac{m_2}{\Omega_1^2} \right), \end{aligned} \quad (5.2)$$

где  $m_+ = m_1 + m_2$ , так и на их разности:

$$\begin{aligned} \varepsilon_- \cos(2\pi m_- x_s - \Delta\Omega_- t), \\ \varepsilon_- = -2\pi^2 \varepsilon_1 \varepsilon_2 m_1 m_2 \left( \frac{m_1}{\Omega_2^2} - \frac{m_2}{\Omega_1^2} \right), \end{aligned} \quad (5.3)$$

где  $m_- = m_2 - m_1$  (при выводе последних формул предполагались выполненными неравенства  $|\Omega_{1,2}| \gg 2\pi m_{1,2} p_{s,max}$ ).

Ограничимся наиболее интересным случаем суммы частот и будем рассматривать близкие по модулю первичные частоты. Возникающая при этом вторичная гармоника оказывается низкочастотной и предстоит выяснить, следует ли она зависимостям, найденным в предыдущем разделе при  $\lambda \ll 1$  для первичных частот в симметричном случае.

Вначале рассмотрим систему (2.1), (2.2) с высокочастотным симметричным возмущением:

$$\begin{aligned} \omega_0^2 = 0.09, \quad \varepsilon_1 = \varepsilon_2 = 0.05, \quad m_1 = m_2 = 1, \\ \Omega_1 = 30.0, \quad \Omega_2 = -30. \end{aligned} \quad (5.4)$$

Картина построенного численно (подробности приведены в работе [22]) сепаратрисного отображения выглядит чистой синусоидой с амплитудой  $W = 1.65 \cdot 10^{-4}$ . Итерации этого отображения показали, что размеры всех трех частей слоя одинаковы и равны  $w_{tp} = |w_{md}| = w_{bt} \approx 0.013$ .

Сделаем теперь возмущение слегка несимметричным, изменив частоту нижней гармоники и породив

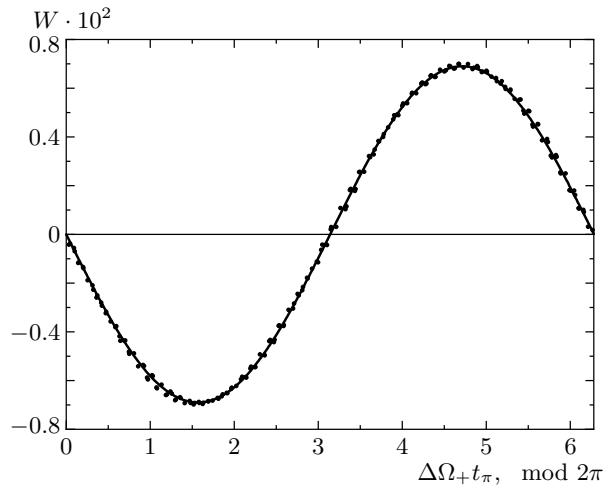


Рис. 3. Сепаратрисное отображение системы (2.1) с несимметричным возмущением (5.5). Точки — численный расчет, сплошная линия — результат подгонки методом наименьших квадратов

тем самым низкочастотную вторичную гармонику на сумму частот

$$\Omega_1 = 30.0, \quad \Omega_2 = -29.5, \quad \Delta\Omega_+ = 0.5. \quad (5.5)$$

Результат численного построения сепаратрисного отображения для системы (2.1), (5.5) представлен на рис. 3 (где  $t_\pi$  — моменты прохождения положения устойчивого равновесия  $x = 0.5$ , см. [22]). Здесь также изображена полученная по методу наименьших квадратов синусоида, но с амплитудой  $W = 6.91 \cdot 10^{-3}$  и, что самое главное, с совершенно другой частотой  $\Delta\Omega_+ = 0.5$ . Размер верхней части слоя также увеличился почти в сорок раз:  $w_{tp} \approx 0.50$ . Спектральный анализ показал, что суммарный вклад первичных гармоник составил менее двух процентов. Возникает впечатление, что в возмущении нет двух высокочастотных гармоник, а есть одна низкочастотная (факт, получивший полное численное подтверждение в работе [23]).

Видно, что качественно повторяется картина, которая имеет место и для маятника. Слабые, но низкочастотные вторичные гармоники «перехватывают инициативу» у первичных в формировании хаоса.

Дополнительные исследования показали также, что для вторичных гармоник очень низких частот, как и для первичных в случае симметричного возмущения, амплитуда сепаратрисного отображения расчет линейно с увеличением частоты, а размер верхней части хаотического слоя практически от нее не зависит.

## 6. ЗАКЛЮЧЕНИЕ

Исследование семейств гладких гамильтоновых систем с кусочно-линейной силой, начатое математической работой Булита [8], обнаружило новую и во многом необычную (или лучше сказать — непривычную) динамику.

Сохранение сепаратрис нелинейных резонансов при наличии хаоса и полное подавление диффузии в критических режимах, фрактальный характер этой диффузии в окрестности (по параметру возмущения) таких режимов, периодическая и степенная зависимость интегралов Мельникова–Арнольда от частоты и другие эффекты не имеют аналогов в случае аналитических гамильтонианов. Обнаружение этих эффектов заставляет пересмотреть некоторые, казалось бы надежно установленные, представления. К числу последних относятся утверждения о том, что возмущение всегда в первую очередь разрушает сепаратрисы нелинейных резонансов с рациональными числами вращения, а в последнюю очередь разрушаются инвариантные кривые с иррациональными числами вращения. Как отмечалось во Введении, особенно богатый набор открытых и ждущих своего решения вопросов породило начатое недавно исследование фрактальной диффузии.

Поиск ответов на все эти вопросы, так же как и поиск других систем с таким же или близким динамическим поведением, должен быть, по нашему мнению, продолжен.

Работа выполнена при частичной финансовой поддержке комплексной научной программы РАН «Математические методы в нелинейной динамике».

## ЛИТЕРАТУРА

1. B. V. Chirikov, Phys. Rep. **52**, 263 (1979).
2. A. Lichtenberg and M. Lieberman, *Regular and Chaotic Dynamics*, Springer, Berlin (1992).
3. Г. М. Заславский, Р. З. Сагдеев, *Введение в нелинейную физику*, Наука, Москва (1988).
4. B. V. Chirikov, Chaos, Solitons and Fractals **1**, 79 (1991).
5. J. Moser, *Stable and Random Motion in Dynamical Systems*, Princeton Univ. Press, Princeton (1973).
6. B. V. Chirikov, E. Keil, and A. Sessler, J. Stat. Phys. **3**, 307 (1971).
7. M. Hénon and J. Wisdom, Physica D **8**, 157 (1983).
8. S. Bullett, Comm. Math. Phys. **107**, 241 (1986).
9. M. Wojtkowski, Comm. Math. Phys. **80**, 453 (1981); Ergodic Theory Dyn. Syst. **2**, 525 (1982).
10. Л. В. Овсянников, Частное сообщение, май (1999).
11. В. В. Вечеславов, Препринт ИЯФ 99-69, Новосибирск (1999).
12. В. В. Вечеславов, Препринт ИЯФ 2000-27, Новосибирск (2000); E-print archives, nlin.CD/0005048.
13. В. В. Вечеславов, ЖЭТФ **119**, 853 (2001).
14. В. В. Вечеславов, Б. В. Чириков, ЖЭТФ **120**, 740 (2001).
15. В. В. Вечеславов, Б. В. Чириков, ЖЭТФ **122**, 175 (2002).
16. B. V. Chirikov and V. V. Vecheslavov, ЖЭТФ **122**, 647 (2002).
17. В. В. Вечеславов, ЖТФ **73** (9), 1 (2003).
18. В. В. Вечеславов, ЖТФ **74** (5), 1 (2004).
19. В. В. Вечеславов, ЖТФ **72** (2), 20 (2002).
20. В. В. Вечеславов, ЖТФ **58** (1), 20 (1988).
21. В. В. Вечеславов, ЖЭТФ **125**, 399 (2004).
22. В. В. Вечеславов, ЖЭТФ **109**, 2208 (1996).
23. В. В. Вечеславов, Письма в ЖЭТФ **63**, 989 (1996).